

# A System-by-Design Approach for the Synthesis of WAIMs for Planar Arrays

G. Oliveri, M. Salucci, N. Anselmi, and A. Massa

## Abstract

In this work, wide-angle impedance matching (*WAIM*) layers based on metasurfaces are designed to enhance the radiation efficiency of planar phased arrays. Toward this end, a System-by-Design (*SbD*) approach is adopted where the layer geometrical features are the solution descriptors, while the minimization of the array power reflection is the synthesis objective. Selected numerical examples are shown to illustrate the potentialities of the proposed *SbD*-based design strategy.

# 1 GUIDA D'ONDA CIRCOLARE - LATTICE QUADRATO (SbD approach)

Dielettrici considerati nelle analisi seguenti:

Dielettrico	$\varepsilon$	$\tan \delta$	d
tipo1=NY9208	2.08	0.0006	$0.508 \cdot 10^{-3}$
tipo2	2.08	0.6	$0.508 \cdot 10^{-3}$
tipo3	2.08	1	$0.508 \cdot 10^{-3}$
tipo4	2.08	1	$1.524 \cdot 10^{-3}$

Essendo  $\varepsilon$  la permittività elettrica,  $\tan \delta$  fattore di dissipazione e d lo spessore.

Per il materiale NY9208 è stato scelto di usare lo spessore più sottile tra quelli disponibili.

## 1.1 FORMA: Croce “2” (5 croci) - DIELETTRICO: TIPO 1 = NY9208

Il modello usato è una croce semplice della quale è possibile modificare lunghezza e larghezza delle braccia e angolo di tilt. Queste sono appunto le 3 incognite che andrà a modificare il PSO:

- *CrossLength*
- *CrossWidth*
- *TiltAngle*

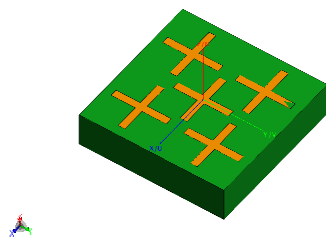


Figure 1: Croce, modello FEKO

Dielettrico:

- tipo: NY9208
- spessore: 0.508e-3
- $\varepsilon = 2.08$
- $\delta = 0.0006$
- $\rho = 1000.0 \text{ [kg/m}^3\text{]}$

Parametri PSO:

- swarm\_size=10;
- max\_iteration\_number=100;
- ftol=0.0001;
- unknown\_number=3

Parametri da ottimizzare:

- $CrossLength = [0.0012 - 0.00135]$
- $CrossWidth = [0.00002 - 0.001]$
- $TiltAngle = [0^\circ - 3^\circ]$

- swarm\_filename=Initial.Swarm
- saving\_percentage=100;
- inertial\_weigth=0.4;
- inertial=2 (consider constant inertial velocity)
- choose\_parameter\_ab=1 (a≠b Random)
- $\alpha=\beta =0.4$
- $c1 = c2 = 2.0$

Fitness:

$$\Psi = \frac{1}{183} \cdot \sum_{\phi=0,45,90} \sum_{\theta=0}^{60} 1 - \Gamma^2$$

La Fitness è stata calcolata minimizzando il coefficiente di Riflessione sui 3 piani: E-plane ( $\phi = 0$ ), D-plane ( $\phi = 45$ ) e H-plane ( $\phi = 90$ ) considerando l'angolo  $\theta$  da 0 a  $60^\circ$

- $\theta = [0 : 60]$
- $\phi = [0; 45; 90]$

$$\Psi_{min} = 4.14 \cdot 10^{-2}$$

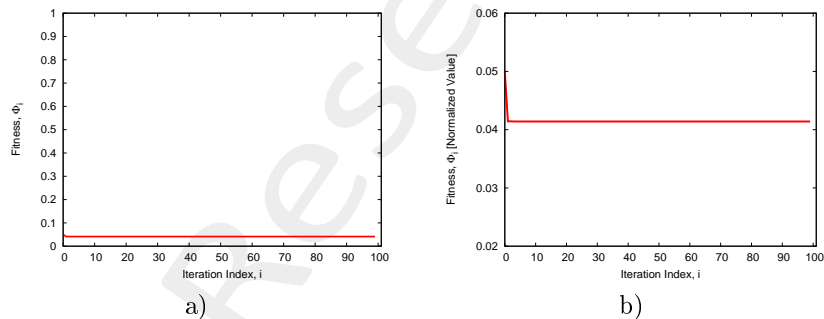


Figure 2: a) Fitness , b) zoom

Il risultato ottimo si ottiene all'iterazione 4 particella 2:

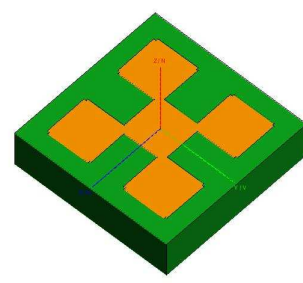


Figure 3: Unit cell, modello FEKO, figura ottima

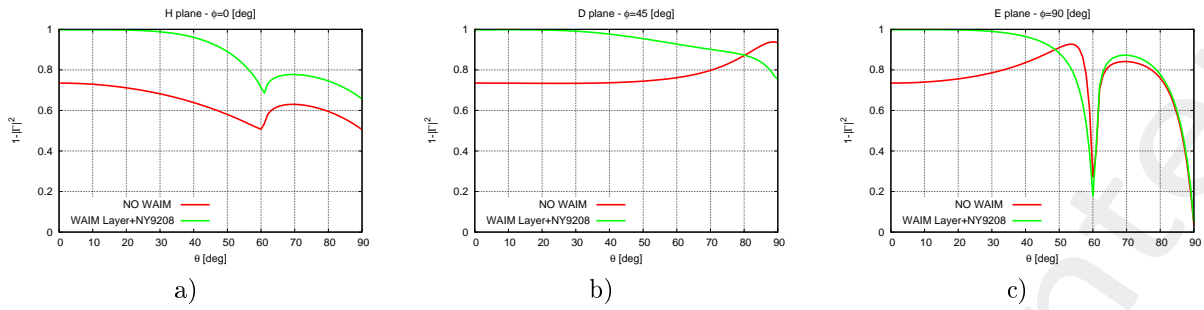


Figure 4: Coefficiente di Trasmissione, a) Piano H, b) Piano D, c) Piano E

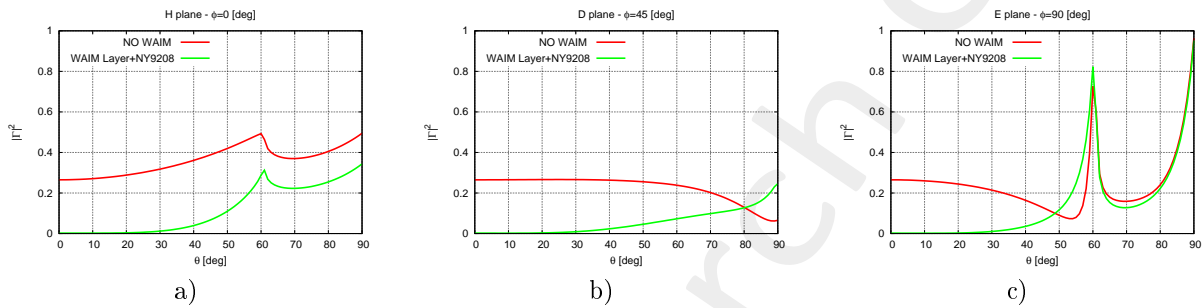


Figure 5: Coefficiente di Riflessione, a) Piano H, b) Piano D, c) Piano E

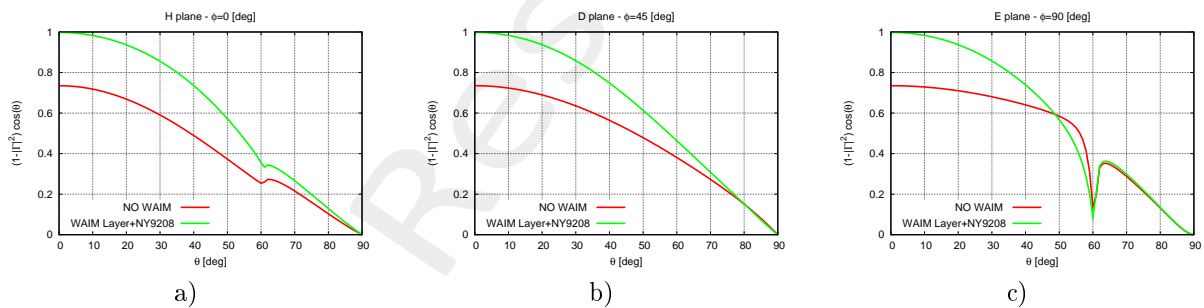


Figure 6: Coefficiente di Trasmissione  $\cdot \cos(\theta)$ , a) Piano H, b) Piano D, c) Piano E

## 1.2 FORMA: Croce “2” (5 croci) - DIELETTRICO: TIPO 2

Dielettrico:

- tipo: 2
- spessore: 0.508e-3
- $\varepsilon = 2.08$
- $\delta = 0.6$
- $\rho = 1000.0 \text{ [kg/m}^3\text{]}$

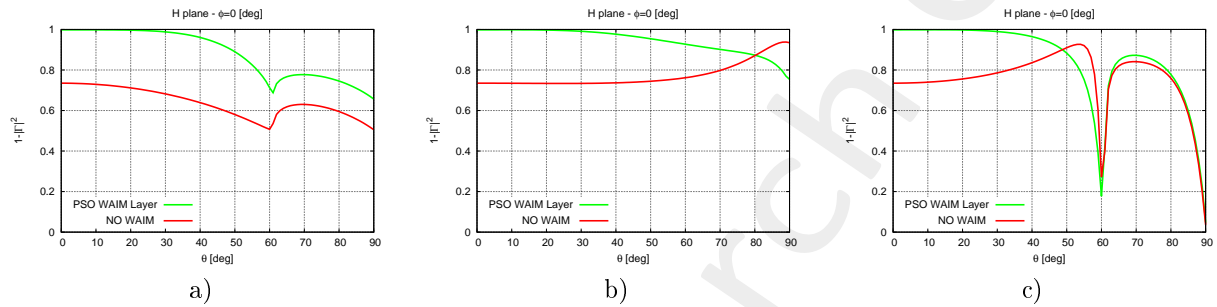


Figure 7: Coefficiente di Trasmissione, a) Piano H, b) Piano D, c) Piano E

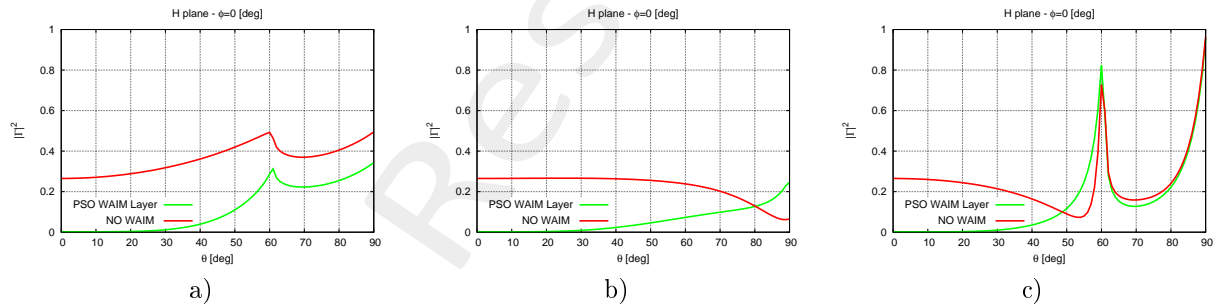


Figure 8: Coefficiente di Riflessione, a) Piano H, b) Piano D, c) Piano E

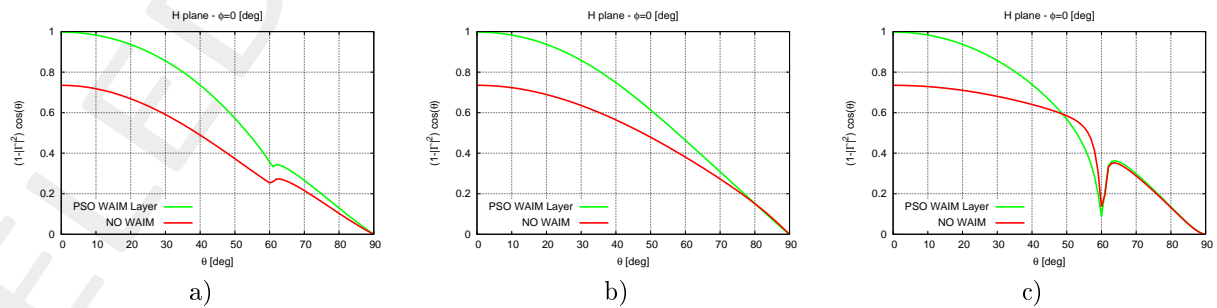


Figure 9: Coefficiente di Trasmissione  $\cdot \cos(\theta)$ , a) Piano H, b) Piano D, c) Piano E

### 1.3 FORMA: Croce “2” (5 croci) - DIELETTRICO: TIPO 3

Dielettrico:

- tipo: 3
- spessore: 0.508e-3
- $\varepsilon = 2.08$
- $\delta = 1$
- $\rho = 1000.0 \text{ [kg/m}^3\text{]}$

Di seguito alcune figure dei coefficienti di trasmissione e riflessione all'iterazione 8 particella 4:

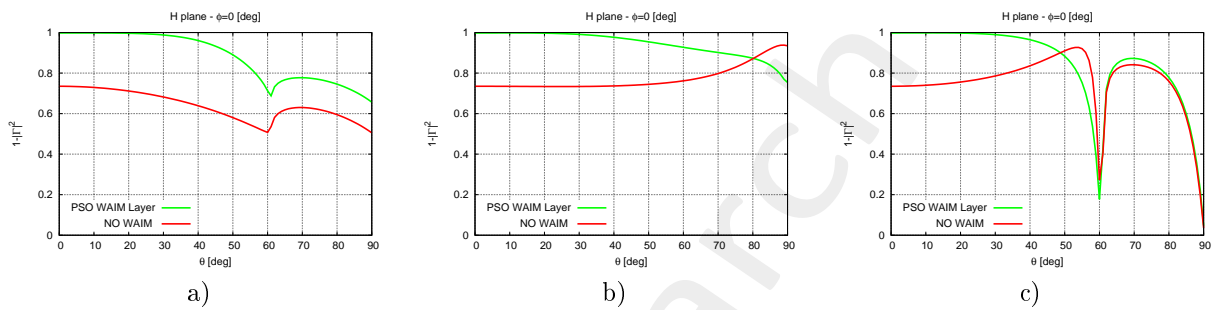


Figure 10: Coefficiente di Trasmissione, a) Piano H, b) Piano D, c) Piano E

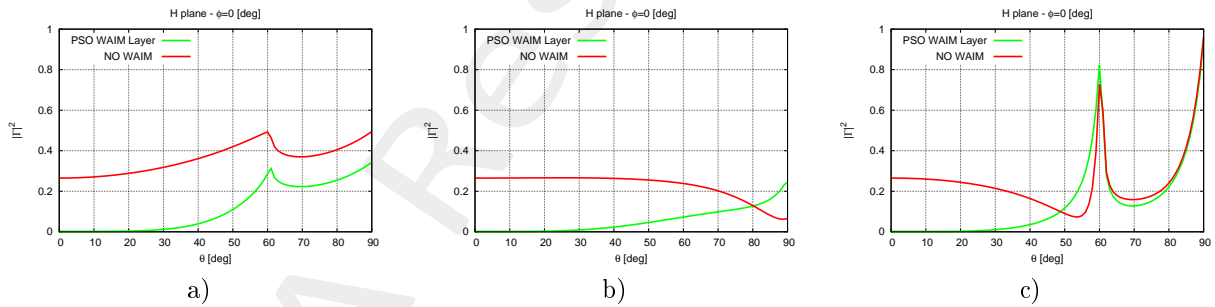


Figure 11: Coefficiente di Riflessione, a) Piano H, b) Piano D, c) Piano E

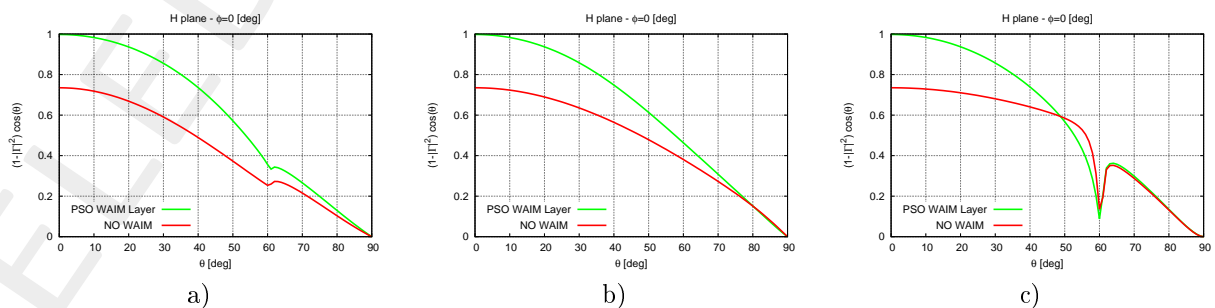


Figure 12: Coefficiente di Trasmissione  $\cdot \cos(\theta)$ , a) Piano H, b) Piano D, c) Piano E

## 1.4 FORMA: Croce “2” (5 croci) - DIELETTRICO: TIPO 4

Dielettrico:

- tipo: 4
- spessore: 1.524e-3
- $\varepsilon = 2.08$
- $\delta = 1$
- $\rho = 1000.0 \text{ [kg/m}^3\text{]}$

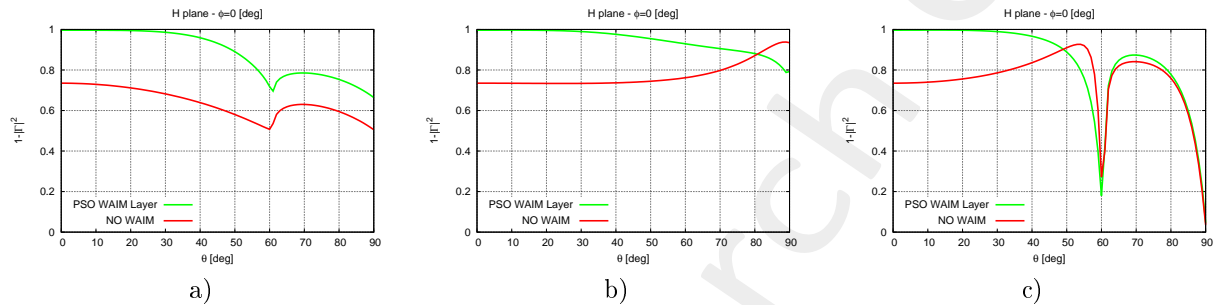


Figure 13: Coefficiente di Trasmissione, a) Piano H, b) Piano D, c) Piano E

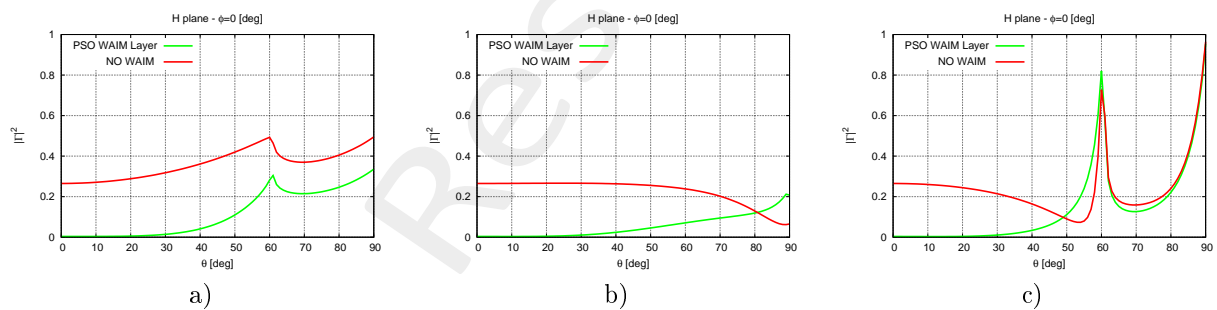


Figure 14: Coefficiente di Riflessione, a) Piano H, b) Piano D, c) Piano E

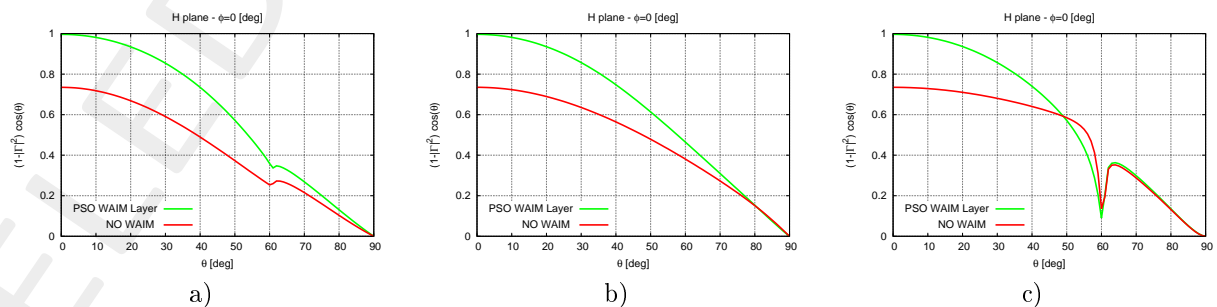


Figure 15: Coefficiente di Trasmissione · cos( $\theta$ ), a) Piano H, b) Piano D, c) Piano E

## 1.5 Unit cell shape

Nei 3 casi si ottengono celle elementari leggermente diverse, anche se da figura non è molto visibile.

	Dielettrico			
	Tipo 1	Tipo 2	Tipo 3	Tipo 4
CrossLength	1.20000006E-03	1.30000000E-03	1.20000006E-03	1.30000000E-03
CrossWidth	5.50224213E-04	6.77957491E-04	7.01327110E-04	1.00000005E-03
TiltAngle	1.13998795E+00	1.19258332E+00	0.00000000E+00	1.90000005E-01

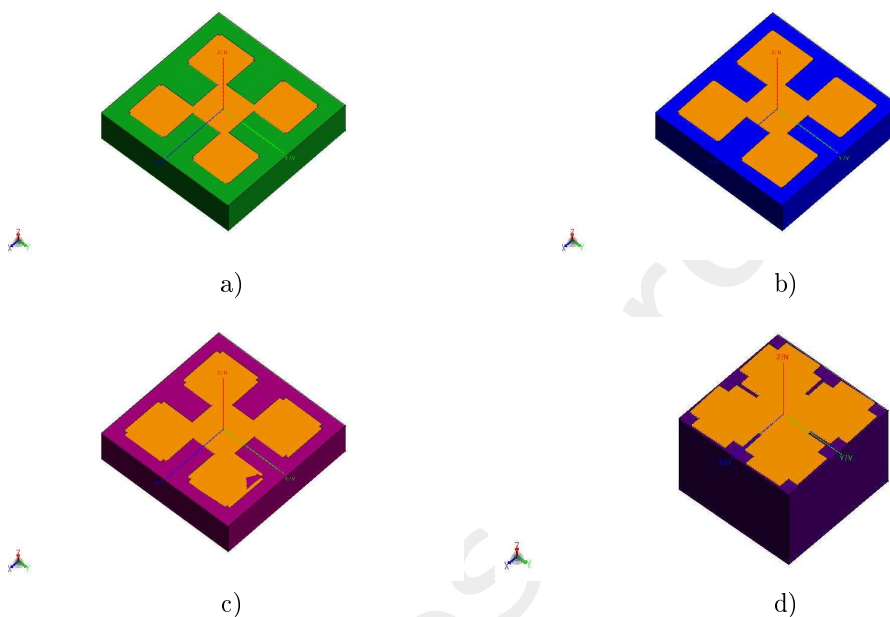


Table 1: Optimal Unit cells, a) using NY9208, b) lossy dielectric type2, c) lossy dielectric type3 , d)lossy dielectric type4

---

**More information on the topics of this document can be found in the following list of references.**

## References

- [1] G. Oliveri, M. Salucci, N. Anselmi and A. Massa, "Multiscale System-by-Design synthesis of printed WAIMs for waveguide array enhancement," *IEEE J. Multiscale Multiphysics Computat. Techn.*, vol. 2, pp. 84-96, 2017.
  - [2] A. Massa and G. Oliveri, "Metamaterial-by-Design: Theory, methods, and applications to communications and sensing - Editorial," *EPJ Applied Metamaterials*, vol. 3, no. E1, pp. 1-3, 2016.
  - [3] G. Oliveri, F. Viani, N. Anselmi, and A. Massa, "Synthesis of multi-layer WAIM coatings for planar phased arrays within the system-by-design framework," *IEEE Trans. Antennas Propag.*, vol. 63, no. 6, pp. 2482-2496, June 2015.
  - [4] G. Oliveri, L. Tenuti, E. Bekele, M. Carlin, and A. Massa, "An SbD-QCTO approach to the synthesis of isotropic metamaterial lenses," *IEEE Antennas Wireless Propag. Lett.*, vol. 13, pp. 1783-1786, 2014.
  - [5] A. Massa, G. Oliveri, P. Rocca, and F. Viani, "System-by-Design: a new paradigm for handling design complexity," *8th European Conference on Antennas Propag. (EuCAP 2014), The Hague, The Netherlands*, pp. 1180-1183, Apr. 6-11, 2014.
  - [6] G. Oliveri, E. T. Bekele, M. Salucci, and A. Massa, "Transformation electromagnetics miniaturization of sectoral and conical horn antennas," *IEEE Trans. Antennas Propag.*, vol. 64, no. 4, pp. 1508-1513, April 2016.
  - [7] G. Oliveri, E. T. Bekele, M. Salucci, and A. Massa, "Array miniaturization through QCTO-SI metamaterial radomes," *IEEE Trans. Antennas Propag.*, vol. 63, no. 8, pp. 3465-3476, Aug. 2015.
  - [8] P. Rocca, M. Benedetti, M. Donelli, D. Franceschini, and A. Massa, "Evolutionary optimization as applied to inverse problems," *Inverse Problems*, vol. 25, pp. 1-41, Dec. 2009.
  - [9] N. Anselmi, P. Rocca, M. Salucci, and A. Massa, "Optimization of excitation tolerances for robust beamforming in linear arrays," *IET Microw. Antennas Propag.*, vol. 10, no. 2, pp. 208-214, 2016.
  - [10] T. Moriyama, F. Viani, M. Salucci, F. Robol, and E. Giarola, "Planar multiband antenna for 3G/4G advanced wireless services," *IEICE Electronics Express*, vol. 11, no. 17, pp. 1-10, Sep. 2014.
  - [11] F. Viani, "Dual-band sierpinski pre-fractal antenna for 2.4GHz-WLAN and 800MHz-LTE wireless devices," *PIER C*, vol. 35, pp. 63-71, 2013.
  - [12] F. Viani, M. Salucci, F. Robol, and A. Massa, "Multiband fractal Zigbee/WLAN antenna for ubiquitous wireless environments," *J. Electromagn. Waves Appl.*, vol. 26, no. 11-12, pp. 1554-1562, 2012.
  - [13] F. Viani, M. Salucci, F. Robol, G. Oliveri, and A. Massa, "Design of a UHF RFID/GPS fractal antenna for logistics management," *J. Electromagn. Waves Appl.*, vol. 26, pp. 480-492, 2012.
  - [14] P. Rocca, G. Oliveri, R. J. Mailloux, and A. Massa, "Unconventional phased array architectures and design methodologies - A review," *Proc. IEEE*, vol. 104, no. 3, pp. 544-560, March 2016.
-

- 
- [15] F. Viani, F. Robol, M. Salucci, and R. Azaro, “Automatic EMI filter design through particle swarm optimization,” *IEEE Trans. Electromagn. Compat.*, vol. 59, no. 4, pp. 1079-1094, Aug. 2017.